水素化ジルコニウムの熱分解と渦塩素酸カリウムとの反応

吉永俊一*, 古賀道生*, 井上 豊* 松本 勝*, 永石俊幸*

水素含量の異なる水素化ジルコニウムの熱分解、および過塩素酸カリウムとの反応性について検討し、さらに前報の水素化チタンと比較検討を行い、次の1)~5)の結論を得た。

- 1)水素化ジルコニウムを加熱すると、約300℃付近から水素を離脱し、生成したジルコニウム は約420℃付近から酸化され始め、約850℃でほぼ完全に酸化される。この酸化反応は粒子 径よりも、水素含有量と関係があり、水素含量が少ない程、低温から酸化される。
- 2)酸化反応の速度式は水素化チタンと同様、内部拡散律速にもとづく Ginstling-Brounstein の式に適合した。活性化エネルギーは64~67kJ/molで、水素含量との関連は認められなかった。
- 3) 発火待試験では、水素化チタンと逆で、水素含量の少ない程、活性化エネルギーも小さく (ZrH_{1.m}: 107.1kJ/mol)、最低発火温度も低い(ZrH_{1.m}: 305℃)。
- 4) 静電気感度試験の結果、水素含量が少ない程、小さな電圧で発火し、安全性も良くない。水 素化チタンは発火しなかった。
- 5) 水素化ジルコニウムと過塩素酸カリウムの反応は535~538℃で起り(ZrH_{2-x}:KClO₄=3:7重量比), 水素化ジルコニウムの混合比が多い程, 低温側で反応する。反応は次式で示される ZrH_{2-x}→Zr+((2-x)/2) H₂ 2Zr+KClO₄→2ZrO₂+KCl

1. 緒 含

水楽化ジルコニウムの組成は非化学量論的であり、 水素は金属格子の隙間位置を占め、その金属、すなわ ちジルコニウム(以下 Zr と記す)と非常によく似た性 質を示すい。また酸化物の生成熱や燃焼性は Zr と類似 しているが、安全性が Zr より高いために、火薬工業 では各種加工品の超元剤として使用される。本研究で は水素含量の異なる ZrH₂--(0≦x<2)の熱安定性お

よび熱分解について、前報で報告した水素化チタン (以下TiH_{2-x}で示す)と比較し、さらに酸化剤である、 過塩素酸カリウム(以下KCIO₄と記す)との反応性に ついても検討した。

2. 実験

2.1 放 料

 ZrH_{2-x} は次に示すA.B.C.D.4 社のものを使用した。試料についてTable 1 に示す。

Table 1	Hydrogen	content(%)	and	particle	size of	Z_rH_{2-x}
---------	----------	------------	-----	----------	---------	--------------

Sample	Chemical formula	Hydrogen content(wt%)	Particle size (µ m)
A	Z _r H _{1.20}	1.31	4.75
В	Z _r H _{1.45}	1.58	4.25
С	Z _r H _{1.57}	1.71	3.80
D	Z _r H _{1.70}	1.84	3.32

平成3年6月26日受理

TEL 092-673-5659

Zr, KClO₄は和光純薬(株)製のものを使用した。 Zrは純度99.5%の粉末を使用した。KClO₄は純度99. 5%のものを水で再結晶して,100メンシュのふるいで,

^{*}九州産業大学工学部工業化学科 〒813 福岡県福岡市東区松香台 2-3-1

ふるって通過したものを使用した。

2.2 熱分析

ZrH_{2-x}の熱分析には、セイコー電子工業社製TG、 DTA3000を使用した。

2.3 酸化速度の測定

空気中におけるZrH_{2-x}の酸化速度の測定は、等温 TG法により求めた。炉の温度を一定にして、試料を 入れ、時間に対する重量変化を測定した。

2.4 粉末X線回折

生成物の確認に、理学電機工業(株)製のガイガーフレックスRADIIA型粉末X線回折装置を用いた。

2.5 粒子径の測定

粒子径はセイシン企業、ミクロンフォートサイザー SKN1000型によって測定した。

2.6 元素分析

水素含量の測定には柳本製作所(株)製CHNコーダ MT 3型を使用した。

2.7 発火待試験

試料100mgを加圧成型器により錠剤状にし、クルップ法に準じて試験を行った。

2.8 静電気感度試験

工業火薬協会規格ES-25の静電気感度試験法にしたがった。

3. 結果および考察

3.1 ZrH_{2-x}の熱変化

Fig.1にZr単体とZrH_{2-x}の空気中におけるDTAとTGの測定結果を示す。ZrH_{1.57}については粒子径の異なる2 試料についても示す。DTAにおいて、いずれの試料も発熱開始温度は260℃から460℃間に認められるが、ピークはZrで450℃、ZrH_{1.20}で480℃、ZrH_{1.57}で(粒子径の異なる両試料共)660℃、ZrH_{1.70}は660℃であった。TGの重量増加開始温度もDTAの発熱開始温度付近から、水素含量の少ない程、粒子径に影響されず、低温から開始している。1000℃の重量増加率はZrが34.5%、ZrH_{1.70}が29.9%、ZrH_{1.45}が31.6%、ZrH_{1.57}が32.1%、ZrH_{1.70}が30.7%であった。

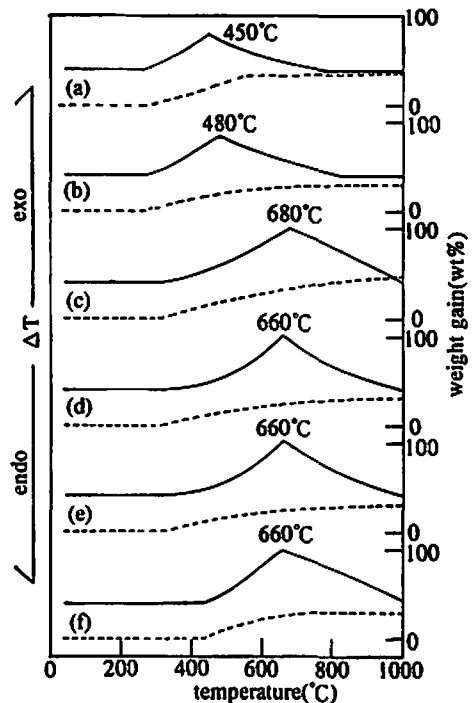


Fig. I DTA and TG curves of Zr and ZrH_{2-x} in air (a)Zr (b)ZrH_{1.20} (c) ZrH_{1.45} (d)ZrH_{1.57} particle size 3.80 μm (e)ZrH_{1.57} particle size 6.80 μm (f)ZrH_{1.70}

DTATG

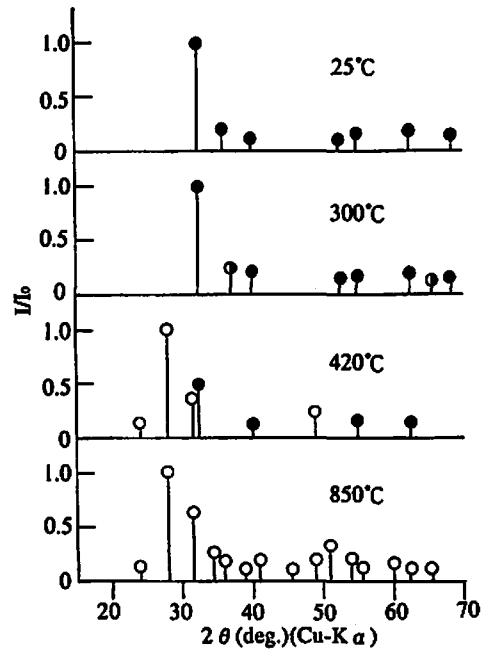


Fig.2 X-ray powder diffraction of ZrH_{1.2} heated at various temperatures in Air

ZrH2(ZrOZrO2

の420℃の粉末 X 線回折で Zr が認められず、 $ZrH_{1.20}$ から ZrO_2 が生成されるように考えられるが、 $ZrH_{1.20}$ から水素を離脱し生成した Zr は、 直ちに ZrO_2 になるためだと考えられる。よって $ZrH_{1.20}$ における ZrH_{2-x} から の ZrH_{2-x} から水素を離脱し生成した Zr の 愈化 反応である。

粒子怪の影響を検討する目的で水素含量および粒子怪の異なる 2 試料,すなわち $ZrH_{1.57}$ の粒子怪 $7.20\mu m$, $ZrH_{1.57}$ の $6.80\mu m$ について,DTA,TG を行った。その結果,DTA の発熱開始温度,ビーク温度,重量増加率はFig.1の $ZrH_{1.57}$ の粒子怪 $3.80\mu m$, $6.80\mu m$ に示すように全く同じ結果が得られた。

以上の結果からZrH₂₋₂の熱反応性は水楽含量に影響されるが、粒子径に影響されないことが判る。

以上の結果より、ZrH₂₋₁の熱反応性と水素含量の 関連は認められたが、粒子径との関連は認められなかった。またZrH₂₋₁の水素含量が少ない程、Zrの熱 変化に近い傾向を示す。前報⁶¹のTiH₂₋₁と比較する と、TiH₂₋₁は水素含量の違いより、粒子径の違いが 熱反応性に影響を与え、DTA の発熱開始温度やTG の重量増加開始温度は粒子径が大きい程、低温から始まる。

以上の結果をまとめると、 ZrH_{2-2} は300℃付近より徐々にZrと H_2 に熱分解して、生成したZrは直ちに空気中の酸素と反応して ZrO_2 になる。反応は

l)
$$ZrH_{2-x} \rightarrow Zr + \left(\frac{2-x}{2}\right) H_2$$
 (300℃付近より)

2) Zr+O₂→ZrO₂ (420℃付近より)

の 2 段で示され、酸化反応終了後の理論増加率は33.3 wt%($ZrH_{1.20}$ として)であり、 ZrH_{2-1} の実験値は29.9 wt% \sim 32.1 wt% でほぼ一致する。

3.2 ZrH2-xの加熱による水梁結合比の変化

さらに3.1の結果を明確にする目的で、 ZrH_{2-x} を 加熱し、各温度(常温、300℃,480℃,800℃)における 水素結合比、 $y(ZrH_y)$ の変化を Table 2に示す。各試 科共、 ZrH_{2-x} の DTAにおける発熱が開始する、300 ℃付近で急激に水素結合比が減少し、 DTA の発熱 ピークが終了する。800 ℃付近では水素結合比はほとんど 0になる。以上の結果は3.1で説明したように、水素が離脱して、Zrを生成し、Zrが酸化され

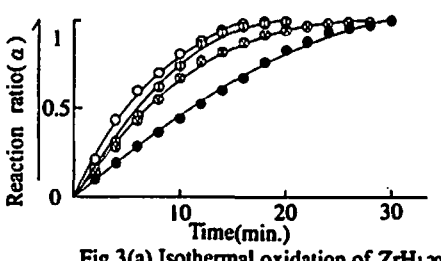


Fig.3(a) Isothermal oxidation of ZrH1.20 at various temperatures

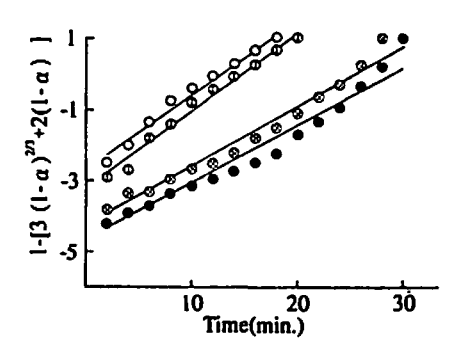


Fig.3(b) Ginstling-Brounstein plot

○800°C ⊕ 700°C ⊗ 500°C ● 410°C

る2段階反応機構とよく一致する。

3.3 ZrH_{2-x}の酸化反応速度

以上の結果より、 ZrH_{2-x} は加熱すると、まず水楽を離脱し、生成したZrが酸化されることがわかった。この酸化の速度式について検討する。 $ZrH_{1.20}$ についての温度一定($410\,\mathrm{C}$,500 $\,\mathrm{C}$,700 $\,\mathrm{C}$,800 $\,\mathrm{C}$)における反応率(α)と時間(\min)の関係をFig.3(a)に、 $1-[3-(1-\alpha)^2/^3+2(1-\alpha)]$ と時間(\min)の関係をFig.3(b)に示す。 TiH_{2-x} と同様、速度式は内部拡散律速によるGinstling-Brounsteinの式 7 , $1-\frac{2}{3}\alpha(1-\alpha)^2/^3$

= kt(α: 反応率、t:min、k: 常数)によく適合した。 内部拡放律速,すなわち,反応物が生成層を拡散して いく過程が反応速度を決めているものと考えられる。 Fig.3(b)より,直線の勾配をもとめ,速度定数 k/minを求め,さらにArrheniusプロット。log k~1

Table 2 Hydrogen content in $Z_rH_y(y=2-x)$ at various temperatures

Temp Sample	25℃	300°C	480 °C	800°C
Z _r H _{1.20}	1.20	0.73	0.32	0.05
Z _r H _{1.45}	1.45	0.97	0.35	0.04
Z _r H _{1.57}	1.57	0.75	0.31	0.04
Z _r H _{1.70}	1.70	1.30	0.23	0.05

#× 103 (T:K) の関係から活性化エネルギーを求めた。
Table 3 に活性化エネルギーおよび頻度因子を示す。
活性化エネルギーは、ほぼ各試料とも一定の64~67
kJ/mol を示し、頻度因子と水素含量および粒子僅の
関連は特に認められなかった。

3.4 ZrH2-xの発火待試験

燃焼性を検討するため、発火待ち時間を測定し、その結果をFig.4に示す。発火待ち時間の対数と絶対 温度の逆数をブロットして、活性化エネルギー、最低 発火温度を求め、Table 4 に示す。安より、水素含量が少ない程、活性化エネルギーも小さく、最低発火温度も低いことがわかった。この結果はTiH_{2-x}の場合と異なった。すなわちTiH_{2-x}の場合は水素含量が少ない程、活性化エネルギーも大きく、最低発火温度も高い、すなわち燃焼性も悪い⁶⁾

3.5 ZrH2-よの静電気感度試験

安全性の検討のため静電気感度試験⁸⁾の結果を Table 5に示す。その結果、水素含量が少ない程、小

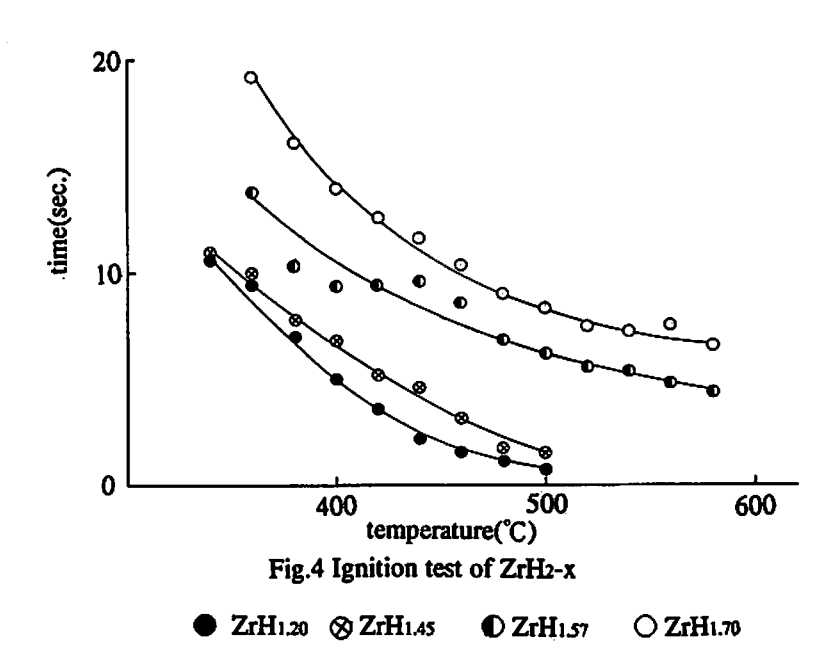


Table 3 Activation energy and frequency factor for isothermal oxidation of Z_rH_2-x

sample	Activation energy (kJ/mol)	Frequency factor (min ⁻¹)
Z _r H _{1.20}	66.5	0. 333
$Z_{r}H_{1.45}$	67.4	0. 217
Z _r H _{1.57}	64.4	0.819
Z,H1.70	65.7	0. 244

Table 4 Activation energy from ignition test and lowest ignition temperature

Sample	Z _r H _{1.20}	Z _r H _{1.45}	Z _r H _{1.57}	Z _r H _{1.70}
Activation energy (kJ/mol)	107.1	154.0	201.3	205. 4
Lowest ignition temperature (°C)	305	342	351	356

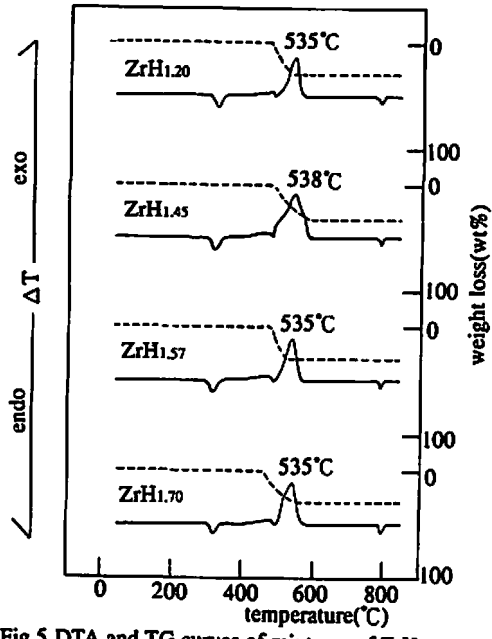


Fig.5 DTA and TG curves of mixtures of ZrH2-x and KClO4 in Ar (weight ratio 3:7)

DTA ----- TG

さな電圧で発火し安全性が低いことがわかる。同様に TiH_{2-x}についても静電気感度試験を行ったが発火せ ず、ZrH_{2-x}より安全であることがわかった。

3.6 ZrH_{2-x}とKClO₄の反応

還元剤としてのZrH2-xの作用を検討する目的で、 水素含量の異なる 4 種類の ZrH 2-x と KClO 4 の混合 系(3:7の重量比,以下重量比で示す)のDTA, TGを アルゴンガス雰囲気中で行ない、結果をFig.5に示す。 Fig.5より水素含量の異なるZrH2-xとKClO4の DTAはいずれも、300℃付近にKCIO4の斜方~立方 転移による吸熱ピーク91,580℃付近にKCIO4の融解 による吸熱ピーク¹⁰⁾, 770℃付近にKClO₄の分解によ り生成した塩化カリウム(以下KCIで示す)の融解叩に よる吸熱ピークを示す。発熱ピークについては、いず れの試料についても535℃~538℃の間に認められる。 すなわちZrH_{1.20}, ZrH_{1.57}, ZrH_{1.70}は535℃, ZrH_{1.45} は538℃に認められ、水素含量との関連はない。TG では重量減少開始温度は480℃付近であり、重量減少 率は約30wt%であった。この低量減少は後述の4)式 による過剰のKCIO4の分解によるものと考えられる。

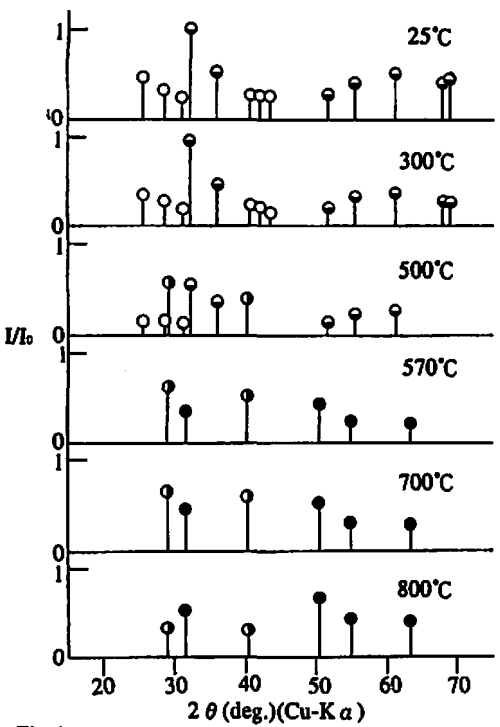
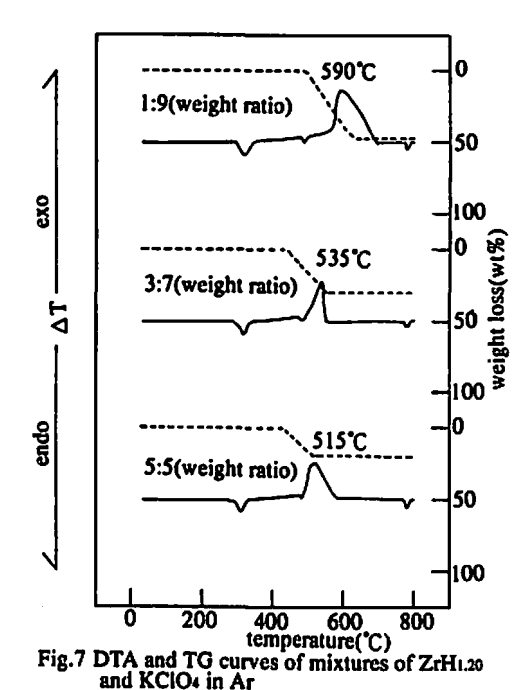


Table 5 Sensivity of static electricity of Z_rH₂-x

sample	Z _r H _{1.20}	Z,H1.45	Z,H 1.57	Z,H1.70
Energy (joule)	0.0018	0.0093	0.00199	0.7099
Voltage (volt)	370	838	1183	1533



昇退過程での各温度における ZrH_{1.20}の加熱残査の 粉末X線回折の結果をFig.6に示す。Fig.6より、常 温から300℃までは変化はない、ZrH₂とKClO₄の ピークが認められる。DTAの発熱ピーク開始の500 ででは未反応のZrH₂5)、KClO↓II)のピークが認められ、 また後述の3)式により生成したKClのピークロンが認 められた。570℃のDTAの発熱ピークの後では、Zr H₂のピークは認められずKCl¹²¹とZrが酸化された ZrOリのピークが認められた。700℃ではKCI¹²⁾とZrO₂ りの生長したピークが認められ、800℃ではKCl¹²⁾と ZrO2いが、さらに生長したピークが認められた。よ ってDTAの535℃の発熱ピークはZrH_{L20}が水楽を離 脱して生成したZr(Fig.2から)とKClO」の反応によ るものと理解される。300℃,500℃,570℃いずれにも Zr のピークが認められないのは、生成したZr が KCIO₄と直に反応するためだと考えられる。

-DTA

----- TG

次に ZrH_{1.20}と KClO₄の混合比を変え, DTA, TG を行った結果をFig.7に示す。Fig.5と似た傾向を示し たがDTAでの発熱ピークは、1:9で590℃、3:7で535 で、5:5で510℃であり、ZrH_{1.20}の添加量が増す程、低 温倒に移行する。TGにおける重量減少の開始は430 で~500℃間でDTAと同様にZrH_{1.20}の添加量が増す 程、低温から開始する。

以上の結果から 2rH_{2-x}と KClO₄の反応は、まず ZrH_{2-x}単体の熱変化で述べた様に ZrH_{2-x}が300 で 付近から水素を離脱して Zr を生成し、これと KClO₄が570で付近で反応し(3:7)、さらに過剰の KClO₄は分解して、 ZrO₂、 KCl₁O₂を生成する。 反応式は次の 1)、3)、4)式で示される

3)2Zr+KClO₄→2ZrO₂+KCl(3:7で570℃付近か ら)

4) KClO 4 - KCl + 2O 2

3.7 結 論

以上の結果より、次のことが結論出来る。

- (1) 水素化ジルコニウムを加熱すると、約300℃付近から水素を離脱し、約420℃付近よりジルコニウムの酸化が始まり、約850℃でほぼ完全に酸化する。この酸化反応は水素含量が少ない程、低温から酸化され、粒子径とは関係は認められない。
- (2) 酸化反応速度は、水素化チタンと同様、内部拡 散律速にもとづく Ginstling-Brounstein の式によく適 合した。

活性化エネルギーは64~67kJ/molであった。活性化エネルギーと水楽含量の関係は認められなかった。

- (3) 発火待試験の結果では、水素化チタンと逆で、 水素含量の少ない程、活性化エネルギーも小さく、最 低発火温度も低い。
- (4) 静電気感度試験の結果では、水素含量の少ない程、小さな電圧で発火し安全性もよくない。水素化チタンは発火せず、水素化ジルコニウムより安全性がよい。
- (5) 水素化ジルコニウムと過塩素酸カリウムの反応は、 $535 \text{ T} \sim 538 \text{ T} \text{ T} (\text{ZrH}_{2-z}: KClO_4 = 3:7)$ 起こり、水素化ジルコニウムが脱水素された $\text{Zr} \text{ E} \text{ KClO}_4$ の反応である。水素化ジルコニウムの混合比が多い程、低温から反応が起る。反応式を次に示す。
 - (i) $ZrH_{2-x} \rightarrow Zr + ((2-x)/2) H_2$
 - (ii) $2Zr + KClO_4 \rightarrow 2ZrO_2 + KCl$

本研究を遂行するにあたり、昭和63年度火薬工業技 術奨励会の助成金を活用させて頂きました。ここに関 係者各位の皆様方に謝意を表します。

文 献

- 1) ベルロット(奥野久輝訳), 無機化学 p.325(1976) 東京化学同人
- M. A. Cook "The Sience of High Explosive" p. 72
 (1958) Chapman & Hall London
- American Society for Testing and Materials,
 power Diffraction File, 5-665(1983) p. 663
- 4) ibid 13-307(1983) p.697
- 5) ibid 17-314(1983)p.366
- 6) 永石俊幸,田中毅一,松本勝,吉永俊一,工業火 薬,51,57(1990)

- P. Bundnikov and A. Ginstling "principles of Solid State Chemistry" p. 183(1976) Maclaren and Sons LTD
- 3) 工業火薬協会,工業火薬協会規格(111)p.
 79(1988)工業火薬協会
- 10) 化学大辞典編集委員会編"化学大辞典"No2, p. 290(1963) 共立出版
- 12) American Society for Testing and Materials

 Power Diffraction File 5-587(1983) p. 532

Thermal decomposition of zirconium hydride and reaction between zirconium hydride and potassium perchlorate.

by Syunichi YOSHINAGA*, Michio KOGA*, Yutaka INOUE*
Masaru MATSUMOTO* and Toshiyuki NAGAISHI*

The thermal decomposition of zirconium hydride with different hydrogen content and its reaction with potassium perchlorate were studied. The results obtained were as follows.

1) When heating, zirconium hydride evolved hydrogen at about $300\,^{\circ}$ C to form zirconium, oxidation of zirconium starfed at $420\,^{\circ}$ C and completed at $850\,^{\circ}$ C.

The oxidation was effected by the hydrogen content of zirconium hydride rather than by particle size. Less the hydrogen content becomes, the lower the oxidation temperature becomes.

- 2) The rate of oxidation reaction can be expressed by the Ginstling-Brounstein equation based on the internal diffusion as a rate determining step. Activation energies obtained were 64~67kJ/mol. It was recognized that there is no relation between hydrogen content and the activation energy.
- 3) The measurement of ignition time lag showed that the less the hydrogen content becomes, the lower both the activation energy and the minimum ignition temperature.
- 4) Zirconium hydride ignited at lower voltage as the hydrogen content becomes smaller.
- 5) The reaction of zirconium hydride with potassium perchlorate occurred at lower temperature as the content of zirconium hydride in the mixture become larger. The reaction was expressed by the following equations;
 - (i) ZrH_{2-x}→Zr+((2-x)/2) H₂ (ii) 2Zr+KClO₄→2ZrO₂+KCl (*Faculty of Engineering, Kyushu Sangyo University 2—1—3, Matsukadai, Higashi-ku, Fukuoka, 813, Japan (phone 092-673-5659)